

# УТОЧНЕН РАСЧЕТ ПРОЧНОСТИ КУЗОВА ПОЛУВАГОНА ПРИ РАЗГРУЗКЕ НА ВАГОНООПРОКИДЫВАТЕЛЕ

**А.В. Додонов, заместитель директора ООО «ИЦ ПС», канд. техн. наук,  
И.А. Хилов, младший научный сотрудник ООО «ИЦ ВС»**

настоящее время количество эксплуатируемых на железнодорожных дорогах колес 1520 мм полува- гонов превысило 500 тыс. ед. Но сегодня это самый распространенный тип подвижного состава, насчитываю- щий более 110 моделей. Тем не менее, работы по созданию новых конструкций полува- гонов продолжаются, что влечет за собой необходимость в совершен- ствовании методик расчета прочности кузовов во стадии проектирования.

Следует отметить, что для разгрузки полува- гонов наиболее эффективным является использование вагоноопрокидыва- телей. данный процесс занимает всего несколько минут, а производи- тельность вагоноопрокидывателя может достигать 50 тыс. т в час. При таком спо- собе разгрузки кузов полува- гона испытывает значительные нагрузки, действия которых необходимо учитывать при про-ектировании.

При оценке прочности конструкции грузовых вагонов руководствуются Нормами для расчета и проектирования вагонов железных дорог МПС колес 1520 мм (несамоходные) [1] (далее — Нормы). Согласно требованиям данного нормативного документа боковые стены полува- гонов и открытые вагоны-контейнеры для условий разгрузки на вагоноопрокидыва- теле проверяются по I расчетному режиму на одновременное действие вертикальных и горизонтальных нагрузок, равномерно распределенных по ширине верхней обвязки на длине 0,8 м

средней части пролета обвязки между соседними стойками (рис. 1, а).

величину вертикальной нагрузки определяют по формуле:

$$q_v = P_{\text{бр}}/l,$$

где  $P_{\text{бр}}$  — сила тяжести вагона бруто, кН;

$l$  — количество упоров вагоноопроки- дывающего.

Горизонтальную поперечную силу при этом принимают равной  $q_h = 0,25q_v$ .

В результате расчета получают поля напряжений в конструкции кузова полува- гона (рис. 1, б).

Вместе с тем, как свидетельствует практика, полува- гоны при разгрузке на вагоноопрокидыва- теле все же получают повреждения. Причиной этому являет- ся то, что нормативные документы, регламентирующие расчет грузовых вагонов на прочность, не корректиро- вались более 15 лет, тогда как условия эксплуатации постоянно ухудшались. Поэтому силы, возникающие при раз- грузке полува- гонов на вагоноопрокидыва- теле, существенно отличаются от нормативных значений. Таким образом, задача уточнения нагрузок, действую- щих на полува- гон при данном способе разгрузки, на сегодняшний день является актуальной.

Для решения этой задачи спе- циалисты группы компаний «Инженерный центр» (г. Санкт-Петербург) провели расчетно-экспериментальные исследования по уточнению силового воздействия на

конструкцию кузова полува- гона при его разгрузке на вагоноопрокидыва- теле. Данные исследования включали в себя:

- анализ работы вагоноопрокидыва- теля для выявления факторов, влияющих на величину силового воздействия на по- лувагон, и уточнения граничных условий;

- проведение исследовательских испытаний для получения фактических значений напряжений в конструкции полува- гона при его разгрузке на вагоно- опрокидывателе;

- сопоставление напряжений, опре- деленных в результате нормативного расчета, с экспериментальными значе- ниями напряжений для оценки адекват-ности нормативной расчетной модели (удовлетворительным уровнем сходимости было признано расхождение на бо- лее 10%);

- корректировку граничных условий расчетной модели для получения удов- летворительного уровня сходимости между расчетом и экспериментом.

На первом этапе было выполнено ис- следование конструкции и проведен анализ работы наименее распространенного вида вагоноопрокидыва- теля с целью выявления параметров, влияю- щих на величину силового воздействия на кузов полува- гона. Следует отметить, что для разгрузки полува- гонов наибо- лее часто применяются роторные ваго- ноопрокидыватели (рис. 2), на которых полува- гон поворачивается относительно продольной оси на угол до 170°.

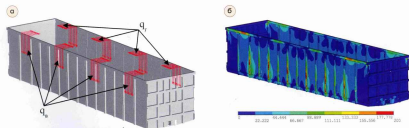


Рис. 1. Расчетная модель кузова полува- гона при нормативном расчете:

а — схема приложения нагрузок; б — напряженно-деформированное состояние кузова полува- гона



Рис. 2. Общий вид и схема вагоноопрокидывателя роторного типа

Груженый полувагон устанавливают на платформе вагоноопрокидывателя. Затем машинист вагоноопрокидывателя включает механизм поворота. При этом платформа с полувагоном под действием собственной массы и пружин тележек смещается до прилегания боковой стены полувагона к привалочной стенке вагоноопрокидывателя 1.

В месте взаимодействия возникают силы, величина которых зависит от расстояния (а), количества и расположения упоров вибраторов, скорости опрокидывания и неравномерности, вызванной деформациями верхней обвязки и упоров, а также определяется разностью прогиба рессорного подвешивания тележек.

В дальнейшем происходит раскрытие рессорных комплектов и склонение кузова по привалочной стенке вагоноопрокидывателя, при этом возникает дополнительные усилия. При достижении угла поворота ротора вагоноопрокидывателя  $170^\circ$  механизм вращения останавливается. Для удаления остатков груза из кузова включают вибраторы, после чего полувагон возвращается в исходное состояние.

Таким образом, из приведенного выше описания следует, что величина нагрузок, действующих

на кузов полувагона, зависит от достаточно большого количества факторов. В связи с этим для получения фактических значений силовых воздействий на конструкцию кузова полувагона при разгрузке на вагоноопрокидывателе на следующем этапе работ были проведены натурные испытания. Для этого был использован полувагон модели 12-9869 (рис. 3).

Полная вертикальная привалка кузова полувагона достигается при повороте ротора вагоноопрокидывателя на угол  $60 - 65^\circ$ . Величина сил, возникающих в месте контакта верхней обвязки полувагона с упорами вибраторов 3.

Полная вертикальная привалка кузова полувагона достигается при повороте ротора вагоноопрокидывателя на угол  $60 - 65^\circ$ . Величина сил, возникающих в месте контакта верхней обвязки полувагона с упорами вибраторов 3.

Испытания осуществлялись на роликовом вагоноопрокидывателе модели ВРС-93-110 на территории Кошуринской ГРЭС. Опытный полувагон был загружен углем до полной грузоподъемности с заполнением полного объема кузова. Предусматривались три цикла разгрузки, во время которых в режиме реального времени фиксировались напряжения в элементах конструкции полувагона согласно схеме, представленной на рис. 4 (показана только привалочная боковая стена).

Данная схема была разработана таким образом, чтобы минимизировать контакт тензодатчиков с элементами вагоноопрокидывателя и при этом иметь возможность проводить анализа величин вертикальных и горизонтальных сил, действующих на полувагон в процессе разгрузки. Для регистрации деформаций в контрольных точках в качестве первичных датчиков были использованы тензорезисторы с базой 5 – 20 мм.

В результате проведенных испытаний были получены осциллограммы напряжений в контрольных точках при разгрузке полувагона на вагоноопрокидывателе (рис. 5). В качестве примера приводится напряжение в точке 71, расположенной на верхней обвязке, и в точках 18, 58, находящихся на стойках.

Как видно из рис. 5, осциллограммы напряжений можно разбить на несколько характерных этапов:

- ① этап 1 соответствует горизонтальной привалке кузова;
- ② на этапе 2 осуществляются склонение и вертикальная привалка кузова;
- ③ на этапе 3 происходит дальнейший поворот полувагона, опирание на верхнюю обвязку и разжатие рессорных комплектов;
- ④ на этапе 4 включаются в работу вибраторы;
- ⑤ этап 5 характеризует поворот полувагона в исходное положение.

Положения вагона на каждом из этапов разгрузки приведены на рис. 6.



Рис. 3. Общий вид полувагона перед проведением испытаний на вагоноопрокидывателе

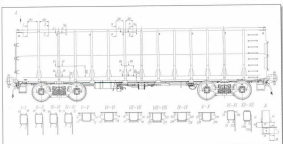


Рис. 4. Схема расположения контрольных сечений и точек в элементах конструкции полувагона

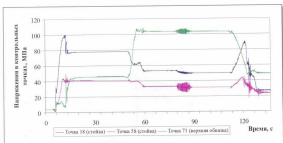


Рис. 5. Осциллограммы напряжений при проведении испытаний на вагонопроприданователе

Проведенный далее анализ показал, что в различных элементах конструкции напряжения достигают максимума значений на разных этапах разгрузки. В сечениях верхней обвязки это происходит при максимальном повороте ротора вагонопроприданователя (угол  $-170^\circ$ ). В стойках боковой стены наибольшие напряжения возникают либо тогда, когда полувагон повернут на  $45^\circ$ , либо в момент удара полувагона со стороны вибраторов (угол  $-65^\circ$ ).

Кроме того, сопоставление максимальных напряжений, зафиксированных в процессе разгрузки полувагона, с результатами нормативного расчета по-

казало, что они значительно отличаются. Поэтому уровень сходимости расчетных и экспериментальных значений напряжений был признан неудовлетворительным. Данные полученные при проведении экспериментальных исследований напряжения были использованы для определения фактического силового воздействия в разные моменты времени на конструкцию полувагона при разгрузке на вагонопроприданователе.

Любое уточнение реальных нагрузок, действующих на полувагон в моменте возникновения максимальных напряжений при его разгрузке на вагонопроприданователе,

на следующем этапе была разработана расчетная модель конструкции кузова полувагона, сформированная из пластинчатых ассилизованных конечных элементов. В целом конструкция полувагона представляет собой балочные элементы, поэтому использование пластинчатых конечных элементов для данной расчетной модели обеспечило необходимую точность расчетов.

Для каждого расчетного случая (углы поворота на  $-45^\circ$ ,  $-65^\circ$  и  $-170^\circ$ ) были разработаны собственные схемы кинематических и силовых граничных условий (рис. 7). Это позволило учсть характер взаимодействия груза, полувагона и вагонопроприданователя между собой. На схемах линейные и угловые степени свободы дверговой системы координат в элементах взаимодействия кузова полувагона с вагонопроприданователем и тележками представлены в виде  $(x, y, z, \phi, \psi, \theta)$ , где значение 0 означает отсутствие перемещения или вращения по соответствующим осям системы координат.

Для первого расчетного случая (поворот на  $-45^\circ$ ) были учтены следующие нагрузки: от веса груза  $Q_{\text{гр}}$ , распора груза  $P_{\text{гр}}$  веса кузова  $Q_{\text{куз}}$ . Анализ полученных напряжений показал, что на данном этапе разрушки полувагону опирается на тележки и верхнюю часть стойки боковой стены в зоне соединения с верхней обвязкой. Как следует из рис. 7, а, нагрузка от веса груза  $Q_{\text{гр}}$  учитывает неравномерное распределение реального груза по поверхности пола и привалочную боковую стену.

Принимая во внимание естественный угол отката груза  $\phi$ , было установлено, что в момент поворота  $-45^\circ$  груз только начинает высаживаться из полувагона, поэтому в расчете вес груза  $Q_{\text{гр}}$  был принят равным грузоподъемности полувагона. Активное давление распора груза, действующее на горизонтальные стены, пок и привалочную боковую стену, определилось согласно п. 2.5.1 Норм.

Второй расчетный случай (рис. 7, б) учитывал все нагрузки для первого расчетного случая, а также ударную нагрузку  $F_{\text{уд}}$ , возникающую при ударе полувагона об упоры вибраторов. Поскольку это происходит при повороте  $-65^\circ$ , то нагрузки от веса груза  $Q_{\text{гр}}$ , распора груза  $P_{\text{гр}}$  веса кузова  $Q_{\text{куз}}$  были учтены в соответствии с пространственным положением полувагона и количеством

Рис. 6. Основные этапы поворота полувагона на вагонопроприданователе



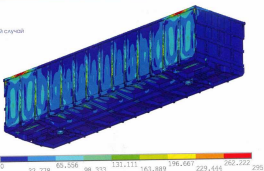
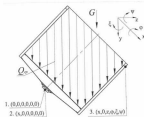
Этап 1

Этап 2

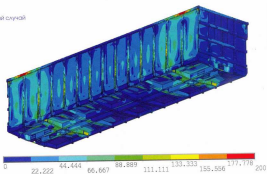
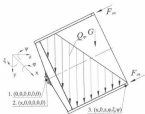
Этапы 3 - 4

Этап 5

а) первый расчетный случай



б) второй расчетный случай



в) третий расчетный случай

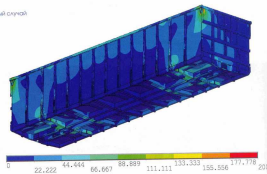
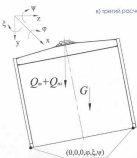


Рис. 7. Схемы кинематических и силовых граничных условий

© Издательско-издательство МГТУ им. Н.Э. Баумана

Рис. 8. Напряженно-деформированное состояние кузова полувагона при разгрузке на вагономоторизованном

оставшегося в кузове полувагона груза. При этом, принимая во внимание угол естественного отката груза, было установлено, что в момент поворота на  $-65^\circ$  из полувагона высыпалось 30—35% груза, поэтому в расчетах вес груза  $Q_{\text{гр}}$  был принят равным 2/3 от грузоподъемности полувагона.

Сила удара была определена по разработанной ранее и успешно апробированной в Инженерном центре методике (2). Для приводной и свободной боковой стены сила удара составила  $F_{\text{уд}} = 125 \text{ кН}$  на один упор.

Необходимо отметить, что рассмотриваемую силу удара в целом можно записать в виде следующей формулы:

$$F_{\text{уд}} = k(Q_{\text{гр}} + Q_{\text{ваг}} + Q_{\text{платформы}}),$$

(дея  $Q_{\text{гр}}$  — вес груза;

$Q_{\text{ваг}}$  — вес подвижной платформы;

$Q_{\text{платформы}}$  — вес кузова;

$Q_{\text{уд}}$  — вес тележек;

$k$  — коэффициент приведения динамической нагрузки к эквивалентной статической;

$k = f(\alpha, \beta, \gamma)$ ,

где  $\alpha$  — расстояние между верхней обвязкой полувагона и спорами вагонопроприводителя, мм;

$\omega$  — угловая скорость вращения ротора, об/мин;

$\gamma$  — угол наклона к горизонту направляющей, по которой происходит скатывание полувагона с плоской формой до соударения с упорами вибраторов.

Анализ представленных зависимостей показывает, что сила удара полувагона об упоры вибраторов зависит от параметров вагоноприводителя, которые являются постоянными для данной модели, а также от массовых и геометрических параметров разгружаемого полувагона. Таким образом, чем ниже высота полувагона от уровня головок рельсов, тем больше будет величина силы сопротивления, что необходимо учитывать при проектировании.

Для третьего расчетного случая (поворот на  $-170^\circ$ , рис. 7.а) были учтены следующие нагрузки: от веса тележек  $Q_{\text{уд}}$  веса подвижной платформы  $Q_{\text{платформы}}$  и веса кузова  $Q_{\text{ваг}}$ . Согласно документации на вагоноприводитель масса подвижной платформы составляет 70 т. Анализ полученных напряжений показал, что полувагон отрывается на верхних обвязках в местах контакта с упорами вибраторов.

На заключительном этапе исследования по уточненной методике был проведен расчет прочности конструкции полувагона при разгрузке на вагоноприводитель (рис. 8). При этом использовали или описанные выше расчетные схемы: поворот полувагона на  $45^\circ$ , поворот полувагона на  $65^\circ$  с ударной нагрузкой об упоры вибраторов и поворот полувагона на  $170^\circ$ .

В итоге за счет применения уточненного симметричного воздействия в расчетной модели кузова полувагона при его раз-

грузке на вагоноприводитель удалось добиться корреляции результатов расчетов и испытаний на уровне 94 %. Поэтому использование разработанных расчетных схем на стадии проектирования поможет создавать более рациональные конструкции боковых стен.

Резюмируя вышеизложенное, можно заключить, что в результате проведенных расчетно-экспериментальных исследований было получено уточненное симметричное воздействие на конструкцию кузова полувагона при его разгрузке на вагоноприводитель. Разработаны три расчетные схемы для проверки прочности боковых стен новых создаваемых конструкций при такой разгрузке. Предложенные расчетные схемы необходимо в дальнейшем обобщить для применения в расчетах полувагонов различных конструкций и открытых вагонов-капеллер, после чего они могут быть использованы при разработке новой редакции Норм.

#### Литература

1. Нормы для расчета и проектирования элементов железнодорожных путей МПС колеи 1520 мм (несущих). — М.: ГосНИИЖ-ВНИИЖТ, 1996. — 317 с.

2. Битюгский А.А. Расчетно-экспериментальное обоснование допустимых продольных нагрузок на торцевые стены полувагонов / А.А. Битюгский, И.А. Хилов // Исследование параметров грузовых вагонов: сб. науч. тр. / под ред. А.А. Битюгского; Инженерный центр вагоностроения. — СПб., 2011. — Вып. 10. — С. 6—16.

## ВАМ ПРЕДЛАГАЮТ НОВЫЕ ИЗДАНИЯ



Федеральное государственное бюджетное образовательное учреждение «Чебоксарский центр по образованию по железнодорожному транспорту ФГБОУ «УМЦ ЖДТ» выпустил в свет следующие издания:

Галабурда В.Г. «Транспортный маркетинг». Электронный аналог печатного издания. 2011. Цена 336,30 руб.

В учебнике даны уточнения общих понятий концепции маркетинга на транспорте, дополнена характеристика транспортного рынка и продукции транспорта, расширены методы и способы изучения конкурентного рынка транспортных услуг, технологии проведения маркетинговых исследований и формирования спроса на перевозки, планирования и управления транспортным маркетингом с использованием информационных технологий.

Дойлайдко А.А. «Метрология, стандартизация и сертификация». Электронный аналог печатного издания. 2009. Цена 336,30 руб.

В учебном пособии подробно изложены основы метрологии, стандартизации и сертификации технических измерений и управления качеством, объясняется использование в различных отраслях предприятий железнодорожного

транспорта. Издание может быть полезно работникам железнодорожного транспорта.

Денилин В.Ф. «Анализ и диагностика финансово-хозяйственной деятельности предприятий железнодорожного транспорта». Электронный аналог печатного издания. 2008. Цена 336,30 руб.

В учебнике изложены содержание, значение и роль экономической диагностики и анализ хозяйственной и финансовой деятельности предприятий в системе реформирования экономики железнодорожного транспорта. Приведены основные приемы и способы синтетической работы по сценарию фактического состояния экономики предприятия.

Козырев В.А. «Менеджмент на железнодорожном транспорте». Электронный аналог печатного издания. 2009. Цена 336,30 руб.

Изложены ключевые составляющие типологии менеджмента на железнодорожном транспорте: корпоративный, стратегический, инновационный, кадровый, социальный и финансовый менеджмент. Издание будет полезно специалистам — функциональным и линейным руководителям железнодорожного транспорта.

По вопросам приобретения обращайтесь в ФГБОУ «УМЦ ЖДТ»:  
105082, г. Москва, ул. Бакунинская, д. 71, Тел. (495) 739-00-31, marketing@umcdt.ru

ФИЛИАЛЫ ФГБОУ «УМЦ ЖДТ»:

656029, г. Иркутск, ул. 4-я Железнодорожная, д. 14-а  
630033, г. Новосибирск, ул. Фрунзе, д. 15-а  
344019, г. Ростов-на-Дону, ул. 9-я линия, д. 10  
443030, г. Самара, ул. Чернова-Гаврилова, д. 29-а  
680000, г. Хабаровск, ул. Фрунзе, д. 39-а  
450035, г. Челябинск, ул. Циолковского, д. 63  
150000, г. Ярославль, ул. Революционная, д. 28

факс (4242): 992-45-43-27  
факс (4242): 978-2-36-43, 978-2-27-35  
факс (351) 8-632-53-51-65  
факс (351) 8-846-372-63-08  
факс (351) 998-4-58-61  
факс (351) 972-41-4-34-89  
факс (351) 985-72-65-95

e-mail: irk@umcdt.ru  
e-mail: novosib@umcdt.ru  
e-mail: rostov@umcdt.ru  
e-mail: samara@umcdt.ru  
e-mail: hab@umcdt.ru  
e-mail: chel@umcdt.ru  
e-mail: ya@umcdt.ru